

УДК 620.179.15 : 535.317.25

О. И. Недавний, В. И. Солодушкин, В. А. Удод

(Томск)

**МОДЕЛИ ФОРМИРОВАНИЯ ТЕНЕВЫХ
РАДИАЦИОННЫХ ИЗОБРАЖЕНИЙ**

Получена математическая модель теневых радиационных изображений контролируемых объектов и две математические модели процесса их формирования, которые учитывают в явной форме случайный характер как процесса излучения квантов источником, так и процесса их взаимодействия с материалом контролируемого объекта.

Введение. В результате просвечивания объекта контроля (ОК) пучком квантов ионизирующего излучения на выходе ОК формируется теневое радиационное изображение (РИ), несущее информацию о состоянии внутренней структуры объекта. Данное изображение, вследствие случайного характера процесса излучения квантов источником и случайного характера процесса взаимодействия самих квантов с материалом ОК [1, 2], является случайной функцией (СФ). В связи с этим возникает задача оценки характеристик РИ и описания процесса его формирования. Это необходимо для теоретических исследований предельных возможностей различных систем радиационного контроля и количественной оценки диагностической ценности РИ. Ранее [3–5] указанная задача решалась опосредованно, а именно: анализировалось не само РИ, а его реакция на выходе детектора (продетектированное РИ), т. е. рентгеновский снимок в радиографии, оптическое изображение в радиоскопии и электрический сигнал в радиометрии. Следствием чего явилась неполнота и частный характер полученных в [3–5] результатов. И такое положение сохраняется вплоть до настоящего времени.

В соответствии с вышеизложенным целью данной работы является непосредственное описание РИ и процесса его формирования.

Модель радиационного изображения. Из анализа работ [3–5] вытекает целесообразность использования следующего представления для РИ:

$$R(x, y, t) = N(x, y) + \eta(x, y, t). \quad (1)$$

Здесь $N(x, y)$ – идеальное РИ, $\eta(x, y, t)$ – шум (квантовый шум). Под идеальным в данном случае понимается РИ, не искаженное шумом, которое количественно может быть описано как распределение в апертурной плоскости детектора, расположенного за ОК, плотности потока квантов излучения, не испытывавших взаимодействия с материалом ОК.

Стоящая перед нами задача заключается в оценке характеристик шума $\eta(x, y, t)$ для заданного $N(x, y)$. Ограничимся решением данной задачи на корреляционном уровне. Этого вполне достаточно, если качество функционирования системы радиационного контроля в целом оценивать по таким критериям, как максимум отношения сигнал/шум [4, 5] либо максимум пространственной разрешающей способности [3, 6, 7].

Для решения поставленной задачи используем общепринятое предположение, заключающееся в том, что число квантов ξ , падающих за некоторое время T на некоторую площадку Ω , есть случайная величина, распределенная по закону Пуассона. А для таких случайных величин, как известно [8], среднее и дисперсия равны, т. е.

$$\bar{\xi} = \sigma_{\xi}^2. \quad (2)$$

Здесь и далее черта сверху означает математическое ожидание.

Величина ξ связана с РИ (1) очевидным соотношением

$$\xi = \int_0^T \int_{\Omega} \int R(x, y, t) dx dy dt. \quad (3)$$

С учетом данного соотношения уравнение (2) является условием для определения корреляционных характеристик шума $\eta(x, y, t)$.

Используя (3) и свойства операции математического ожидания, найдем $\bar{\xi}$ и σ_{ξ}^2 в развернутой форме:

$$\bar{\xi} = \int_0^T \int_{\Omega} \int [N(x, y) + \overline{\eta(x, y, t)}] dx dy dt, \quad (4)$$

$$\sigma_{\xi}^2 = \int_0^T \int_{\Omega} \int_0^T \int_{\Omega} \int K_{\eta}(x, y, t, u, v, \tau) du dv d\tau dx dy dt. \quad (5)$$

Здесь $K_{\eta}(x, y, t, u, v, \tau)$ – корреляционная функция шума $\eta(x, y, t)$.

В результате проведенных исследований нами получено, что равенство выражений (4) и (5) или, что то же самое, справедливость уравнения (2), будет иметь место, если

$$\overline{\eta(x, y, t)} = 0, \quad (6)$$

$$K_{\eta}(x, y, t, u, v, \tau) = N(x, y) \delta(x - u) \delta(y - v) \delta(t - \tau), \quad (7)$$

где $\delta(z)$ – δ -функция Дирака.

Соотношения (6), (7) позволяют представить шум $\eta(x, y, t)$ в следующей эквивалентной форме:

$$\eta(x, y, t) = \sqrt{N(x, y)} n(x, y, t), \quad (8)$$

где $n(x, y, t)$ – пространственно-временной белый шум с нулевым средним значением и единичной спектральной плотностью, т. е.

$$\overline{n(x, y, t)} = 0, \quad K_n(x, y, t, u, v, \tau) = \delta(x - u) \delta(y - v) \delta(t - \tau). \quad (9)$$

При подстановке (8) в (1) окончательно получаем искомую модель РИ ОК

$$R(x, y, t) = N(x, y) + \sqrt{N(x, y)}n(x, y, t). \quad (10)$$

Данная модель достаточно проста и легко применима при теоретическом исследовании дальнейших этапов преобразования излучения, в частности его детектирование (регистрация).

Опишем для полноты анализа непосредственно сам процесс формирования РИ ОК.

Модели процесса формирования РИ ОК. Обозначим через $R_0(x, y, t)$ радиационное поле (РП) в апертурной плоскости детектора, сформированное пучком квантов излучения при отсутствии ОК. Данное поле условно может быть проинтерпретировано как РИ ОК нулевой толщины или как РИ (отклик) источника излучения и поэтому, согласно (10), аналитически опишем РП так:

$$R_0(x, y, t) = N_0 + \sqrt{N_0}m(x, y, t), \quad (11)$$

где N_0 – плотность потока квантов излучения в апертурной плоскости детектора при отсутствии ОК, $m(x, y, t)$ – так же, как и $n(x, y, t)$, есть пространственно-временной белый шум с нулевым средним значением и единичной спектральной плотностью, т. е.

$$\overline{m(x, y, t)} = 0, \quad K_m(x, y, t, u, v, \tau) = \delta(x - u)\delta(y - v)\delta(t - \tau). \quad (12)$$

Процесс формирования РИ ОК представим как действие некоторого оператора L , преобразующего РП $R_0(x, y, t)$ в РИ $R(x, y, t)$, т. е.

$$R(x, y, t) = L[R_0(x, y, t)].$$

Этот оператор условно назовем оператором преобразования излучения ОК и рассмотрим его в качестве модели ОК как радиационного преобразователя.

Таким образом, задача описания процесса формирования РИ ОК заключается в описании оператора L , а именно: в установлении аналитической зависимости между РП $R_0(x, y, t)$ и РИ $R(x, y, t)$. Указанную зависимость представим в виде

$$R(x, y, t) = \varphi(x, y, t)R_0(x, y, t) + \Psi(x, y, t), \quad (13)$$

где $\varphi(x, y, t)$, $\Psi(x, y, t)$ и $R_0(x, y, t)$ – взаимно независимые пространственно-временные СФ.

В основу выбора СФ $\varphi(x, y, t)$ и $\Psi(x, y, t)$ положим равенство корреляционных характеристик левой и правой части равенства (13). Обозначим для удобства правую часть (13) через $Q(x, y, t) = \varphi(x, y, t)R_0(x, y, t) + \Psi(x, y, t)$.

Итак, наша задача состоит в отыскании СФ $\varphi(x, y, t)$ и $\Psi(x, y, t)$ из системы уравнений

$$\begin{cases} \overline{R(x, y, t)} = \overline{Q(x, y, t)}; & (14) \\ K_R(x, y, t, u, v, \tau) = K_Q(x, y, t, u, v, \tau). & (15) \end{cases}$$

Левая часть уравнения (15) представляет собой корреляционную функцию (КФ) СФ $R(x, y, t)$, правая часть – СФ $Q(x, y, t)$.

Для проведения дальнейших расчетов запишем (14), (15) в развернутой форме. Согласно (9), (10) получим

$$\overline{R(x, y, t)} = N(x, y), \quad (16)$$

$$K_R(x, y, t, u, v, \tau) = \sqrt{N(x, y)N(u, v)}\delta(x - u)\delta(y - v)\delta(t - \tau). \quad (17)$$

Для любой непрерывной функции $f(x, y, z)$ выполняется соотношение [9]

$$f(x, y, z)\delta(x - a)\delta(y - b)\delta(z - c) = f(a, b, c)\delta(x - a)\delta(y - b)\delta(z - c).$$

Предположим, что функция $N(x, y)$ непрерывна. Данное предположение практически всегда выполняется вследствие эффекта «размытия» РИ, обусловленного конечными размерами фокусного пятна источника излучения [10]. Тогда (17) запишем в виде

$$K_R(x, y, t, u, v, \tau) = N(x, y)\delta(x - u)\delta(y - v)\delta(t - \tau). \quad (18)$$

Найдем теперь корреляционные характеристики для СФ $Q(x, y, t)$. С учетом (11), (12) и предположения о взаимной независимости СФ $\varphi(x, y, t)$, $R_0(x, y, t)$ и $\Psi(x, y, t)$ имеем

$$\overline{Q(x, y, t)} = N_0\overline{\varphi(x, y, t)} + \overline{\psi(x, y, t)}, \quad (19)$$

$$K_Q(x, y, t, u, v, \tau) = N_0^2 K_\varphi(x, y, t, u, v, \tau) + N_0\overline{\varphi(x, y, t)\varphi(u, v, \tau)}\delta(x - u)\delta(y - v)\delta(t - \tau) + K_\psi(x, y, t, u, v, \tau). \quad (20)$$

При подстановке (16), (18)–(20) в (14), (15) будем иметь

$$\begin{cases} N(x, y) = N_0\overline{\varphi(x, y, t)} + \overline{\psi(x, y, t)}; & (21) \\ N(x, y)\delta(x - u)\delta(y - v)\delta(t - \tau) = N_0^2 K_\varphi(x, y, t, u, v, \tau) + \\ + N_0\overline{\varphi(x, y, t)\varphi(u, v, \tau)}\delta(x - u)\delta(y - v)\delta(t - \tau) + K_\psi(x, y, t, u, v, \tau). & (22) \end{cases}$$

В результате проведенных исследований получено следующее решение системы уравнений (21), (22):

$$\varphi(x, y, t) = p(x, y), \quad (23)$$

$$\overline{\psi(x, y, t)} = 0, \quad (24)$$

$$K_\psi(x, y, t, u, v, \tau) = N_0[p(x, y) - p^2(x, y)]\delta(x - u)\delta(y - v)\delta(t - \tau) \quad (25)$$

– КФ СФ $\Psi(x, y, t)$. Здесь $p(x, y) = N(x, y)/N_0$ – детерминированная функция, означающая при фиксированных x, y вероятность события [5, 10] $A(x, y) = \{\text{квант излучения, пролетая через ОК вдоль прямой, проходящей че-}$

рез точку (x, y, o) параллельно оси O_z , не испытал взаимодействия с материалом ОК}. Данная вероятность как функция от x, y имеет вид [10]

$$p(x, y) = \exp \left[- \int_{-\infty}^{\infty} \mu(x, y, z) dz \right],$$

где $\mu(x, y, z)$ – линейный коэффициент ослабления излучения для материала ОК. Если ОК однородный, но переменной толщины, то

$$p(x, y) = \exp[-\mu H(x, y)],$$

где $H(x, y)$ – толщина ОК вдоль прямой, проходящей через точку (x, y, o) параллельно оси O_z .

Используя (24), (25), СФ $\Psi(x, y, t)$ представим в виде

$$\psi(x, y, t) = \sqrt{N_0 [p(x, y) - p^2(x, y)]} q(x, y, t), \quad (26)$$

где $q(x, y, t)$ – пространственно-временной белый шум с нулевым средним значением и единичной спектральной плотностью, т. е.

$$\overline{q(x, y, t)} = 0, \quad K_q(x, y, t, u, v, \tau) = \delta(x - u) \delta(y - v) \delta(t - \tau)$$

– КФ шума $q(x, y, t)$.

При подстановке (23), (26) в (13) получаем наконец искомую зависимость между РП $R_0(x, y, t)$ и РИ ОК $R(x, y, t)$:

$$R(x, y, t) = p(x, y) R_0(x, y, t) + \sqrt{N_0 [p(x, y) - p^2(x, y)]} q(x, y, t). \quad (27)$$

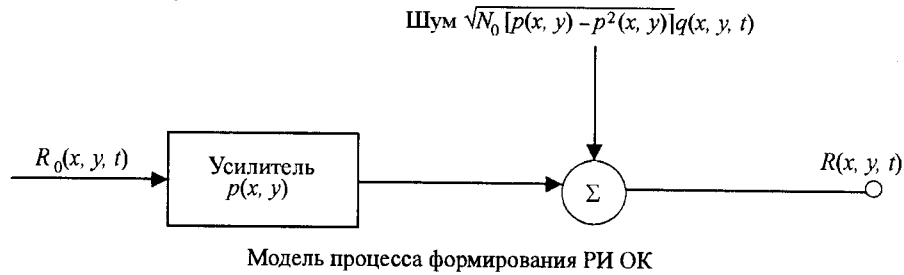
Обратим внимание на то, что в данном выражении случайная составляющая $\sqrt{N_0} m(x, y, t)$, содержащаяся в РП $R_0(x, y, t)$, отражает случайный характер процесса излучения квантов источником, а случайная составляющая $\sqrt{N_0 [p(x, y) - p^2(x, y)]} q(x, y, t)$ отражает случайный характер процесса взаимодействия квантов с материалом ОК. При этом указанные случайные составляющие являются независимыми.

Выражению (27) можно придать несколько иной вид, если для рассмотренного ранее события $A(x, y)$ ввести его индикатор [8]

$$\gamma(x, y) = \begin{cases} 1, & \text{если событие } A(x, y) \text{ произошло,} \\ 0, & \text{если событие } A(x, y) \text{ не произошло.} \end{cases} \quad (28)$$

Ряд распределения СФ $\gamma(x, y)$ при фиксированных x, y имеет вид [8]

$$\gamma(x, y): \begin{vmatrix} 0 & 1 \\ 1 - p(x, y) & p(x, y) \end{vmatrix}.$$



Очевидно, что среднее и дисперсия СФ (28) соответственно равны

$$\overline{\gamma(x, y)} = p(x, y), \quad \sigma_\gamma^2(x, y) = p(x, y) - p^2(x, y). \quad (29)$$

Из (29) следует, что (27) может быть записано в следующей эквивалентной форме:

$$R(x, y, t) = \overline{\gamma(x, y)} R_0(x, y, t) + \sqrt{N_0 \sigma_\gamma^2(x, y)} q(x, y, t). \quad (30)$$

Заметим, что при отсутствии ОК событие $A(x, y)$ становится достоверным. Следовательно, в этом случае его вероятность $p(x, y)$ будет равна 1 и мы получим равенство $R(x, y, t) = R_0(x, y, t)$.

Из (27) (равно как и из (30)) следует, что ОК как радиационный преобразователь в функциональном отношении (оператор L) последовательно выполняет две операции (см. рисунок): усиливает РП $R_0(x, y, t)$ с коэффициентом усиления $p(x, y)$ и к полученному результату $p(x, y) R_0(x, y, t)$ добавляет аддитивный шум $\sqrt{N_0 [p(x, y) - p^2(x, y)]} q(x, y, t)$.

Закключение. Таким образом, в результате проведенных исследований нами получены: математическая модель (10) РИ ОК, которая, в отличие от ранее известных, в явной форме учитывает случайный характер процесса излучения квантов источником и процесса их взаимодействия с материалом ОК, и математические модели (27), (30) процесса формирования РИ ОК. Принципиальной отличительной особенностью данных моделей от других является то, что в них связь между РП $R_0(x, y, t)$ и РИ ОК $R(x, y, t)$ задается на уровне их реализаций, а не на уровне характеристик, что позволяет более глубоко и полно и к тому же более наглядно исследовать для целей неразрушающего радиационного контроля процесс прохождения излучения через вещество.

СПИСОК ЛИТЕРАТУРЫ

1. Вяземский В. О., Ломоносов И. И., Писаревский А. Н. и др. Сцинтилляционный метод в радиометрии. М.: Атомиздат, 1961.
2. Гольданский В. И., Куценко А. В., Подгорецкий М. И. Статистика отсчетов при регистрации ядерных частиц. М.: Физматгиз, 1959.
3. Гурвич А. М. Квантовые флуктуации и их роль в прикладной рентгенолюминесценции // Изв. АН СССР. Сер. физ. 1981. 46, № 5. С. 964.
4. Горбунов В. И., Покровский А. В. Радиометрические системы радиационного контроля. М.: Атомиздат, 1979.

5. **Тарасов Г. П.** Статистические методы обработки информации в системах измерения ионизирующего излучения. М.: Атомиздат, 1980.
6. **Удод В. А.** О разрешающей способности // Оптика атмосферы. 1989. 2, № 2. С. 154.
7. **Завьялкин Ф. М., Удод В. А.** Максимальная разрешающая способность изображающих систем, достигаемая при апостериорной линейной фильтрации изображений // Автометрия. 1992. № 3. С. 75.
8. **Вентцель Е. С., Овчаров Л. А.** Теория вероятностей и ее инженерные приложения. М.: Наука, 1988.
9. **Корн Г., Корн Т.** Справочник по математике. М.: Наука, 1978.
10. **Приборы для неразрушающего контроля материалов и изделий.** Кн. 1 /Под ред. В. В. Клюева. М.: Машиностроение, 1986.

*Тамский государственный
архитектурно-строительный университет,
Тамский политехнический университет,
Тамский государственный университет,
E-mail: udod@ef.tsu.ru*

*Поступила в редакцию
16 мая 2000 г.*

Реклама продукции в нашем журнале – залог Вашего успеха!